

УДК 537.312.62

**СТРУКТУРНАЯ НЕУСТОЙЧИВОСТЬ
ВЫСОКОТЕМПЕРАТУРНОГО СВЕРХПРОВОДНИКА
 $\text{YBa}_2\text{Cu}_3\text{O}_{7-x}$ В ОБЛАСТИ НИЗКИХ ТЕМПЕРАТУР**

*O. B. Александров, O. M. Иваненко, B. P. Карасик,
K. B. Киселева, K. B. Мицен, O. E. Омельяновский*

Рентгенодифракционными методами впервые установлено, что в интервале температур 160—170 К в сверхпроводящем материале $\text{YBa}_2\text{Cu}_3\text{O}_{7-x}$ происходит фазовый переход II рода. Показано, что природа обнаруженной ранее структурной аномалии при 100—110 К не связана с перестройкой вакансий кислородной подрешетки материала. Предположительно она может быть проявлением фазового перехода в несоразмерную фазу.

Известно [1], что кристаллическая структура сверхпроводящей керамики $\text{YBa}_2\text{Cu}_3\text{O}_7$ при комнатной температуре принадлежит к орторомбической сингонии (Орто I, $T_c \approx 90$ К [2]) и имеет пространственную группу Pmm . По данным [3], параметры ее элементарной ячейки (рис. 1) при комнатной температуре составляют: $a=3.822$ (1), $b=3.891$ (1), $c=-11.677$ (2) Å; число молекул Z на ячейку равно единице. Элементарную ячейку (рис. 1) принято рассматривать как утроенную вдоль оси c ячейку шеровского ABO_3 . Однако в отличие от последней ячейка $\text{YBa}_2\text{Cu}_3\text{O}_7$ содержит две стехиометрических вакансии кислорода, а большинство атомов смешено из правильных положений (см. рис. 1 и табл. 1 в [1]). При таком расположении атомов в решетке $\text{YBa}_2\text{Cu}_3\text{O}_7$ 1/2 общего числа стехиометрических вакансий располагается в базисных плоскостях (ab) элементарных ячеек с координатами $(1/2, 0, 0)$, вторая же половина вакансий имеет координаты $(0, 0, 1/2)$. В результате в базисных плоскостях образуются две системы неэквивалентных линейных цепочек: одна вдоль оси a , состоящая из $\text{Cu}(1)$ -атомов, разделенных вакансиями кислорода, и вторая вдоль оси b , состоящая из чередующихся $\text{Cu}(1)$ -атомов и атомов кислорода O (1). Согласно [2, 4], именно последняя ответственна за сверхпроводимость соединения. Позже авторы [5] показали методом квадрупольного ядерного резонанса, что за сверхпроводимость ответственны главным образом $\text{Cu}(2)$ -плоскости.

На наш взгляд, более правильной является точка зрения авторов работы [6], которые считают, что сверхпроводимость обусловлена не только $\text{Cu}(1)$ -цепочками, но и $\text{Cu}(2)$ -плоскостями, связанными с первыми через коллективное электронное спаривание.

Во многих работах (см., например, [3]) отмечалось, что вследствие тех или иных технологических операций сверхпроводящая керамика $\text{Y}-\text{Ba}-\text{Cu}-\text{O}$ может терять кислород и ее состав должен отвечать формуле $\text{YBa}_2\text{Cu}_3\text{O}_{7-x}$, где x может изменяться от нуля до 0.7. В этом случае в решетке растворяется еще некоторое число (x на одну элементарную ячейку) сверхстехиометрических вакансий кислорода. При значениях $x > 0.7$ структура $\text{YBa}_2\text{Cu}_3\text{O}_{7-x}$ становится тетрагональной (Тетра II, [2]) и несверхпроводящей.

Таким образом, сверхстехиометрические вакансии кислорода по мере увеличения их концентрации, во-первых, понижают степень орторомбич-

ности структуры, во-вторых, вытягивают элементарную ячейку вдоль оси c и, наконец, понижают температуру сверхпроводящего перехода T_c [3].

С учетом этих результатов можно было предполагать, что изменение концентрации кислородных вакансий должно оказывать влияние на температурные зависимости структурных характеристик.

Ранее было установлено, что у сверхпроводящих материалов, принадлежащих к различным структурным типам (фаза A15, фаза Шевреля, фаза Лавеса, гексагональная плотная упаковка), наблюдаются структурные фазовые превращения, расположенные выше температуры сверхпроводящего перехода. С целью обнаружения подобных эффектов в керамике $\text{YBa}_2\text{Cu}_3\text{O}_7$, в работе [7] методами нейтронной дифракции была исследована структура этого соединения в шести температурных точках: 5, 30, 75, 120, 200, 300 К. На основании полученных данных авторы пришли к выводу об отсутствии каких-либо структурных изменений в указанном температурном интервале. Однако несколько позже авторы работы [8], изучая эту структуру в интервале 77–300 К рентгенодифракционным методом, обнаружили, что в области 100–110 К зависимости параметров элементарной

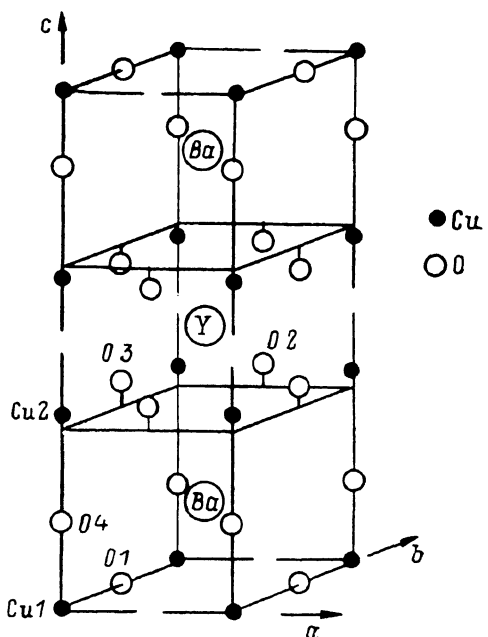


Рис. 1. Элементарная ячейка кристаллической структуры $\text{YBa}_2\text{Cu}_3\text{O}_{7-x}$ (Орто 1).

Координаты атомов приведены в таблице.

ячейки $a(T)$, $b(T)$ и $c(T)$ имеют минимум. Максимальные отклонения Δa , Δb и Δc , по данным этой работы, составили соответственно 0.012, 0.05 и 0.015 Å. Поскольку обнаруженная структурная аномалия разыгрывалась на фоне сохранения макросимметрии решетки, авторы высказали предположение, что эта особенность, возможно, связана с температурным упорядочением кислородных вакансий и что такая «мягкость» кислородной подрешетки, предшествующая по температуре сверхпроводящему переходу ($T_c \approx 94$ К), может быть ответственной за сильное электронно-электронное взаимодействие, приводящее к сверхпроводимости.

В связи с этим нам представлялось целесообразным провести аналогичные рентгеноструктурные исследования на образцах керамики $\text{YBa}_2\text{Cu}_3\text{O}_{7-x}$ с различными исходными концентрациями кислородных вакансий, меру которых с учетом результатов [3] мы оценивали по абсолютным значениям параметра c элементарной ячейки.

1. Методика эксперимента

В работе исследовались массивные поликристаллические образцы $\text{YBa}_2\text{Cu}_3\text{O}_{7-x}$ и полученные их растиранием порошки. Рентгенофазный анализ показал, что все использованные материалы являются соединением $\text{YBa}_2\text{Cu}_3\text{O}_{7-x}$, а общее содержание побочных фаз не превышает 2–3 %. Температура сверхпроводящего перехода образцов была 93–94 К при ширине перехода ~ 1 К. Сопоставление рентгенодифракционных измерений параметров решетки массивных и порошковых образцов показа-

зало, что растирание керамических таблеток ведет к возрастанию параметра c на величину $\sim 0.015 \text{ \AA}$, что в предположении выполнения закона Бегарда, согласно [3], означает потерю кислорода и образование сверхстехиометрических вакансий в концентрации $\Delta x=0.1$, дополнительных к концентрации вакансий в исходном массивном образце.

Низкотемпературные рентгеноструктурные исследования выполнялись на рентгеновском дифрактометре ДРОН-2.0 с использованием монохрома-

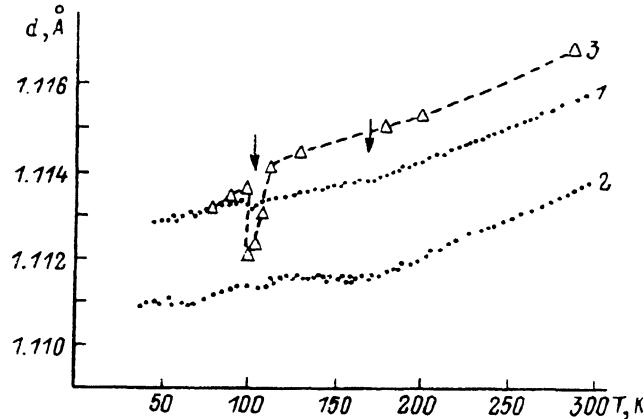


Рис. 2. Температурные зависимости межплоскостного расстояния $d_{1.0.10}$ для порошка (1) и массивного образца (2) $\text{YBa}_2\text{Cu}_3\text{O}_{7-x}$.

Кривая 3 получена расчетным путем по данным работы [8].

тизированного излучения $\text{Cu}K_\alpha$. Образцы помещались на холодопровод в вакуумируемой части гелиевого криостата. В качестве тестовых структурных характеристик материала были выбраны величины межплоскостного расстояния d дифракционного рефлекса (1.0.10), его угловая полуширина $\Delta_{1/2}$ (по шкале 2θ , где θ — угол дифракции) и интенсивность в максимуме I_{\max} . Расположение рефлекса (1.0.10) в области углов дифракции $\theta \approx 44^\circ$ и его достаточно высокая интенсивность обеспечили точности измерения d и I_{\max} не хуже $\pm 1 \cdot 10^{-4} \text{ \AA}$ и $\pm 2\%$ соответственно.

2. Экспериментальные результаты

На рис. 2 представлены температурные зависимости межплоскостного расстояния $d_{1.0.10}$ порошка (кривая 1) и массивного образца $\text{YBa}_2\text{Cu}_3\text{O}_{7-x}$ (кривая 2), содержащих различные концентрации C_x кислородных вакан-

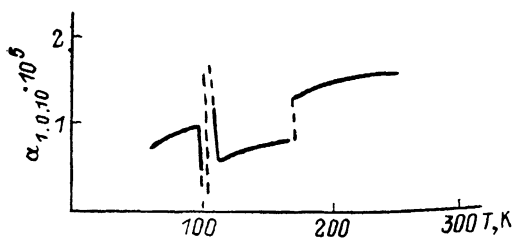


Рис. 3. Температурная зависимость коэффициента линейного расширения вдоль направления 1.0.10 в решетке $\text{YBa}_2\text{Cu}_3\text{O}_{7-x}$, полученная графическим дифференцированием кривой 1 рис. 2.

ций ($\Delta x = C_{x_1} - C_{x_2} = 0.1$). Полученные результаты указывают на существование двух температурных интервалов 100—110 и 160—170 К, где зависимости d (T) обоих материалов имеют аномальный характер: слабый минимум в первом случае и изменение наклона d (T) во втором. Температурная зависимость коэффициента линейного расширения α (T) керамики (рис. 3), полученная графическим дифференцированием кривой 1 на рис. 2, как и следовало ожидать, имеет аномальный ход в области 100—110 К и скачок при 160—170 К. Отметим, что полученная в настоящей работе аномалия зависимости α (T) при 100—110 К качественно хорошо согласуется с ходом

в том же температурном интервале зависимости $\alpha(T)$, рассчитанной по результатам ультразвуковых измерений [9].

На рис. 4, а, б приведены характерные для обоих образцов температурные зависимости угловой полуширины $\Delta_{1/2}(2\theta)$ и пиковой интенсивности I_{\max} дифракционного рефлекса (1.0.10). При рассмотрении зависимости рис. 4, а прежде всего необходимо отметить аномальный характер зависимости $\Delta_{1/2}(2\theta)$ во всем интервале температур, поскольку известно [10], что в условиях стабильности кристаллической решетки изменение температуры не влияет на ширину дифракционного рефлекса. Поэтому обнаруженное в настоящей работе монотонное уменьшение величины $\Delta_{1/2}(2\theta)$ в процессе охлаждения образца от 300 К вплоть до температуры сверхпроводящего перехода (~ 90 К) следует рассматривать как указание

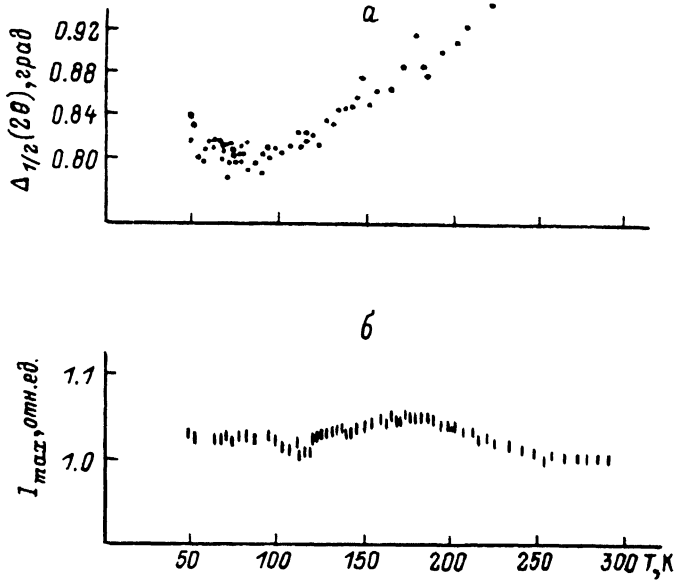


Рис. 4. Температурные зависимости угловой полуширины $\Delta_{1/2}(2\theta)$ дифракционного рефлекса (1.0.10) (а) и его пиковой интенсивности I_{\max} (б) $\text{YBa}_2\text{Cu}_3\text{O}_{7-x}$.

на упорядочение кристаллической решетки материала. Обращает на себя внимание повторяющийся для всех образцов значительный разброс экспериментальных значений $\Delta_{1/2}(2\theta)(T)$ в области 150–170 К. В этом же интервале температур имеет место максимум пиковой интенсивности I_{\max} (рис. 4, б); вблизи же 100–110 К наблюдается минимум $I_{\max}(T)$.

Совместное рассмотрение экспериментальных результатов (рис. 2–4) позволяет сделать вывод о том, что кристаллическая решетка $\text{YBa}_2\text{Cu}_3\text{O}_{7-x}$ становится неустойчивой вблизи 160–170 и 100–110 К. Согласно теории рассеяния рентгеновских лучей (см., например, [11]), неустойчивость решетки в первом температурном интервале, где наблюдаются скачок $\alpha(T)$, максимум $I_{\max}(T)$ и тенденция к увеличению $\Delta_{1/2}(2\theta)$, можно интерпретировать как структурный фазовый переход II рода. В результате этого превращения скачком понижается коэффициент линейного расширения материалов. Увеличение «жесткости» кристаллической решетки, по-видимому, происходит прежде всего за счет упорядочения кислородных вакансий, как наиболее подвижных элементов структуры [2, 4]. Этим можно объяснить более полное упорядочение решетки массивного образца (кривая 2 на рис. 2) с меньшей исходной концентрацией кислородных вакансий.

Сопоставление экспериментально измеренных величин полуширины ряда дифракционных линий порошкового образца при 300 и 110 К (см. таблицу) позволяет высказать предположение, что упорядочение элементов структуры в указанном интервале температур происходит преимуще-

ственno путем их смещений вдоль оси c , перемещение же элементов вдоль базисных плоскостей решетки и по нормали к плоскостям с индексами Миллера (h, k, Z) практически отсутствует.

Интерпретация характера структурной неустойчивости в интервале 100—110 К, сопровождающейся понижением $d(T)$, $\Delta_{1/2}(2\theta)$ и пиковой интенсивности I_{\max} , вызывает определенные затруднения, поскольку совокупность полученных экспериментальных результатов не позволяет рассматривать ее как фазовый переход I или II рода. Качественно подобные результаты были получены ранее на монокристаллах CdP_2 [12] и PbSnTe [13], где рентгеноструктурными методами наблюдали скачки $\alpha(T)$, сопровождающиеся уменьшением интенсивности рассеяния рентгеновского излучения и полуширины дифракционных рефлексов. Такие переходы

Угловая полуширина $\Delta_{1/2}(2\theta)$ дифракционных рефлексов
 $\text{YBa}_2\text{Cu}_3\text{O}_7$ (град)

hkl	$T, \text{ K}$		$\frac{\Delta_{300} \text{ K} - \Delta_{110} \text{ K}}{\Delta_{300} \text{ K}} \cdot 100 \%$
	300	110	
(013), (103), (110)	0.68	0.66	3
(005), (014)	0.69	0.58	16
(113)	0.62	0.61	1.5
(006), (020)	0.65	0.60	8
(200)	0.67	0.66	1.5
(220), (206), (026)	0.90	0.82	9
(130), (109)	0.71	0.65	8
(310)	0.68	0.68	0
(10.10)	0.77	0.72	6.5

авторы [12, 13] интерпретировали как фазовые переходы с образованием фазы с несоразмерной сверхструктурой. В настоящее время характер эволюции структуры кристалла вблизи перехода «соразмерная фаза \rightleftarrows несоразмерная фаза» не выяснен [14]. Как было показано [14], такой переход нельзя отнести ни к I, ни ко II роду.

Попытки объяснить структурную аномалию в области 100—110 К в рамках модели температурного упорядочения кислородных вакансий [8] наталкиваются, на наш взгляд, на определенные трудности. Действительно, абсолютные величины обнаруженных в настоящей работе осцилляций $\Delta d_{1.0.10}$ при 100—110 К, составившие $\sim 2 \cdot 10^{-4} \text{ \AA}$ для массивного образца и $4 \cdot 10^{-4} \text{ \AA}$ для порошка (при $\Delta x=0.1$), оказались на порядок меньше величины осцилляции $\Delta d_{1.0.10} \approx 2 \cdot 10^{-3} \text{ \AA}$ порошка, исследовавшегося в [8] (рис. 2, кривые 1—3). Сопоставление же параметров кристаллической решетки того и другого порошка показало, что концентрации кислородных вакансий в них отличаются мало: $\Delta x \leqslant 0.04$. Более того, в работе [15] было обнаружено, что слабая структурная аномалия (совпадающая по порядку величины с результатами настоящей работы) появляется в области температуры сверхпроводящего перехода при измерениях в атмосфере кислорода и почти исчезает при замене кислородной атмосферы на вакуум.

Таким образом, простое сопоставление величины структурной аномалии вблизи 100—110 К с содержанием кислородных вакансий C , в материале показывает, что эту особенность не удается интерпретировать как результат их упорядочения, поскольку величина минимума на температурных зависимостях структурных параметров не коррелирует с величиной C . Более того, по нашему мнению, процесс упорядочения кислородной подрешетки в основном заканчивается в области фазового перехода при 160—170 К (рис. 2, кривые 1, 2). Указанное обстоятельство и заставило нас под иным углом зрения интерпретировать природу этой аномалии, привлекая аналогии с другими материалами, обладающими каче-

ственno сходным поведением структурных характеристик вблизи особых температурных точек.

В заключение необходимо отметить, что в настоящей работе, так же как и в [15], в области 50 К на температурных зависимостях структурных характеристик наблюдается разброс экспериментальных точек, который по аналогии с поведением известных сегнетоэлектриков [14] можно предположительно интерпретировать как фазовый переход в соразмерную фазу.

Л и т е р а т у р а

- [1] David W. I. F., Harrison W. T. A., Gunn J. M. F. et al. Nature, 1987, vol. 327, N 6120, p. 310—312.
- [2] Nishida N., Miyatake H., Shimada D. et al. Technical Report of ISSP, 1987, Ser. A, N 1844, p. 1—24.
- [3] Cava R. J., Batlogg B., Chen C. H. et al. Nature, 1987, vol. 329, N 6138, p. 423—425.
- [4] Welch D. O., Emery V. J., Cox D. E. Nature, 1987, vol. 327, N 6120, p. 278—279.
- [5] Kitaoka Y., Hiratsu S., Kondo T., Kunisuke A. Preprint of Department of Material Physics. Osaka University, Japan, 1987. 14 p.
- [6] Santoro A., Miraglia S., Beech F. Mat. Res. Bull., 1987, vol. 22, N 8, p. 1007—1013.
- [7] Carponi J. J., Chaillout C., Hewat A. W. et al. Preprint of Lab. Of Cristallogr. Grenoble Cedex, France, 1987. 15 p.
- [8] Головашкин А. И., Иваненко О. М., Лейтус Г. И. и др. Письма в ЖЭТФ, 1987, т. 46, № 8, с. 325—327.
- [9] Головашкин А. И., Данилов В. А., Иваненко О. М. и др. Письма в ЖЭТФ, 1987, т. 46, № 7, с. 273—275.
- [10] Киттель Ч. Введение в физику твердого тела. М.: Наука, 1987.
- [11] Финкель Б. А. Низкотемпературная рентгенография металлов. М.: Металлургия, 1971. 256 с.
- [12] Шелег А. И., Новиков В. П. ФТТ, 1982, т. 24, № 11, с. 3508—3510.
- [13] Александров О. В. Автореф. канд. дис. М., ФИАН СССР, 1985.
- [14] Струков Б. А., Леванюк А. П. Физические основы сегнетоэлектрических явлений в кристаллах. М.: Наука, 1983. 240 с.
- [15] Аншукова Н. В., Воробьев Г. П., Головашкин А. И. и др. Письма в ЖЭТФ, 1987, т. 46, № 9, с. 373—375.

Физический институт
им. П. Н. Лебедева
Москва

Поступило в Редакцию
8 февраля 1988 г.